

*silniki prądu stałego, chorągiewki, mocowanie chorągiewek*

Tadeusz GLINKA\*, Bronisław DRAK\*

## **MOCOWANIE CHORĄGIEWEK W SILNIKACH PRĄDU STAŁEGO DUŻEJ MOCY**

Silniki prądu stałego dużej mocy pracują w układach napędowych maszyn wyciągowych w górnictwie i w układach napędowych walcarek w hutnictwie. Są to silniki wielobiegunowe o stosunkowo małej znamionowej prędkości obrotowej. Duża różnica w średnicach wirnika i komutatora powoduje, że chorągiewki łączące końcówki uzwojenia z działkami komutatora mogą mieć długość nawet około jednego metra. Chorągiewki te, w czasie pracy silnika są poddane działaniu sił elektrodynamicznych i sił bezwładności. Doświadczenie eksplatacyjne wykazuje, że chorągiewki są najbardziej awaryjnym węzłem silnika i często łamią się. Na przykładzie silnika walcowicznego, o średnicy wirnika  $D = 4500$  mm, średnicy komutatora  $D_k = 2280$  mm i liczby działek komutatora  $K = 1050$ , zilustrowano siły działające na chorągiewki oraz wpływ mocowania chorągiewek na ich trwałość.

### **1. WSTĘP – DEFINICJA PROBLEMU**

Silniki prądu stałego dużej mocy pracują w układach napędowych maszyn wyciągowych w górnictwie i w układach napędowych walcarek w hutnictwie. Są to silniki wielobiegunowe o stosunkowo małej znamionowej prędkości obrotowej. Na przykład silnik wyciągowy typu P-4100, zainstalowany na jednej z kopalń węgla kamiennego, ma dane znamionowe: 1600 kW, 650 V, 2660 A,  $2p = 24$ , 45 obr/min. Silnik ten ma średnicę zewnętrzną wirnika  $D = 4100$  mm, a średnicę zewnętrzną komutatora  $D_k = 2500$  mm, liczbę żlobków  $\dot{Z} = 440$  i liczbę działek komutatora  $K = 880$ . Długość chorągiewek łączących końcówki uzwojenia z działkami komutatora  $l_{ch} = 770$  mm. Silnik walcowiczny typu CDH 4500, firmy AEG, o danych znamionowych:  $P_N/P_{max} = 2000/4000$  kW,  $U_N = 515$  V,  $n_N/n_{max} = 0-41/71$  ob/min. ma liczbę biegunów  $2p = 20$ , średnicę wirnika  $D = 4500$  mm, średnicę komutatora  $D_k = 2280$  mm, liczbę działek komutatora  $K = 1050$ . Chorągiewki w tym silniku mają długość około 1 m. Chorągiewki w czasie pracy silnika są poddane działaniu sił elektrodynamicznych i sił bez-

\* Instytut Elektrotechniki i Informatyki, Politechnika Śląska, ul. Akademicka 10, 44-100 Gliwice,  
[glinka.tadeusz@gmail.com](mailto:glinka.tadeusz@gmail.com), [bronislaw.drak@polsl.pl](mailto:bronislaw.drak@polsl.pl)

władności i muszą być mocowane mechanicznie aby nie ulegały zmęczeniomu łamaniu.

## 2. RODZAJE MOCOWANIA CHORĄGIEWEK

Wpływ rodzaju mocowania chorągiewek na ich trwałość zostanie zilustrowany na przykładzie silnika walcowicznego typu CDH 4500, firmy AEG, o danych znamionowych:

moc znamionowa i maksymalna:  $P_N/P_{max} = 2000/4000 \text{ kW}$ ,  
 prędkość obrotowa znamionowa i maksymalna  $n_N/n_{max} = 0-41/71 \text{ obr/min.}$ ,  
 napięcie:  $U_N = 515 \text{ V}$ ,  
 prąd znamionowy i maksymalny  $I_N/I_{max} = 4240/9040 \text{ A}$ ,  
 liczba biegunów  $2p = 20$ .

Średnica wirnika  $D = 4500 \text{ mm}$ , średnica komutatora  $D_k = 2280 \text{ mm}$ , liczba działek komutatora  $K = 1050$ . Chorągiewki mają długość około 1m. Silnik CDH 4500 został zainstalowany w latach 30-tych XX wieku do napędu walcarki pielgrzymowej rur bez szwów w jednej z hut. W wykonaniu fabrycznym chorągiewki były mocowane w połowie długości do podzwojnika, przy pomocy grzebienia drewnianego i między sobą były powiązane sznurem, a dystans między chorągiewkami był utrzymywany przy pomocy „guzików” izolacyjnych tworzących pierścień.

W roku 1980 silnik przeszedł remont generalny, w ramach którego:

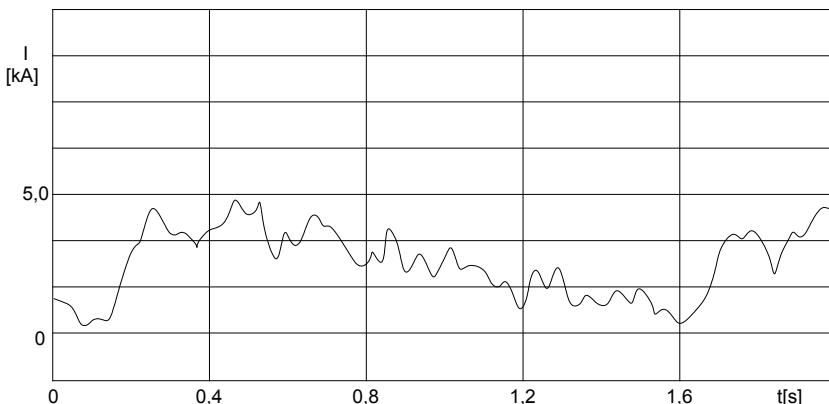
- wymieniono uzwojenia,
- wymieniono komutator na nowy,
- wymieniono wał na nowy.

W czasie remontu zrezygnowano z grzebienia drewnianego. Chorągiewki po kilku miesiącach eksploatacji silnika zaczęły się lamać w strefie przy komutatorze. Przywrócicono więc mocowanie fabryczne chorągiewek i dodatkowo wzmacniono sztywność chorągiewek od strony komutatora poprzez łączenie chorągiewek w wiązki po 5 sztuk tworząc rodzaj „kratownicy”. Rozwiążanie to zdało egzamin. Silnik pracował bezawaryjnie 28 lat, co należy odnotować za sukces. W roku 2008 chorągiewki zaczęły się lamać ponownie, jeden fragment chorągiewki wypadł robiąc zwarcia w strefie komutatora.

Specyfika walcowania rury jest taka, że w czasie walcowania wymagana moc na walcech, w zależności od profilu rury i rodzaju materiału, może wynosić ponad 10000 kW. Aby tę moc zapewnić, na wale silnika umieszczono koło o momencie bezwładności około  $1,1 \times 10^6 \text{ kgm}^2$ . W czasie walcowania rury około 1/3 energii dostarcza silnik zmniejszając przy tym swoją prędkość obrotową, a 2/3 energii koło zamachowe. Silnik pracuje przy prędkościach zbliżonych do znamionowych 36–40 obr/min. Maksymalny zanotowany spadek prędkości obrotowej w czasie walcowania wynosił 5,3 obr/min. Po przejściu rury przez walce silnik zwiększa prędkość obrotową „ładując” energetycznie koło zamachowe.

Prąd obciążenia silnika jest zmienny w czasie. Przykładowy przebieg prądu pokazano na wykresie (rys. 1). Jest to jeden z łagodniejszych wariantów walcowania. Przy innych parametrach walcowanej rury maksymalna wartość prądu silnika może przekraczać 8000 A. Cykl walcowania, jak wynika z przebiegu prądu obciążenia silnika (rys. 1), wynosi około 1,55 s, w tym :

- walcowanie około 0,3 s,
- a czas wybiegu około 1,25 s.



Rys. 1. Przebieg prądu silnika w czasie walcowania rury  $355.6 \times 8$   
Fig. 1. The flow of the motor's current at the time of rolling the tube  $355.6 \times 8$

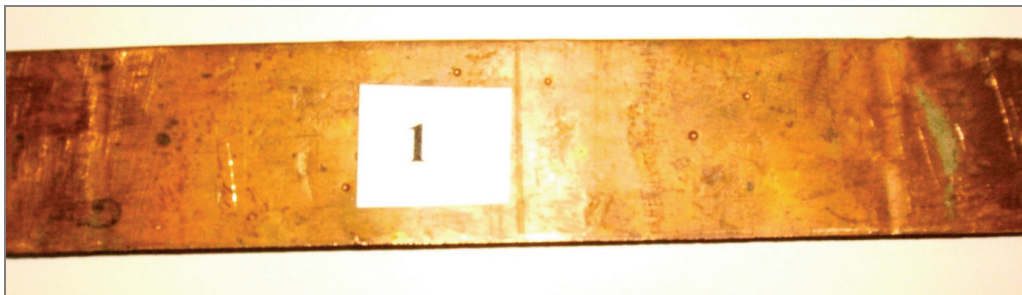
### 3. BADANIE CHORĄGIEWEK

Badania przeprowadzono na dwóch chorągiewkach:

- 1 – wyciętej z komutatora (rys. 2)
  - 2 – zapasowej z magazynu, która była wykonana z tej samej partii miedzi (rys. 3).
- Celem badań było porównanie ich właściwości fizycznych.



Rys. 2. Fragment chorągiewki wycięty z silnika  
Fig. 2. Part of the riser cut from the engine



Rys. 3. Fragment chorągiewki zapasowej wziętej z magazynu,  
a pochodzącej z tej samej partii materiału co chorągiewka przedstawiona na rys. 2  
Fig. 3. Part of the backup riser taken from the stockroom,  
and originating from the same batch of material as riser presented in Fig. 2

Wyniki badań są następujące:

Chorągiewka zapasowa (2) jest prosta i jest sprężysta, po niewielkim ugięciu wraca do stanu pierwotnego. Chorągiewka wycięte (1) ma powierzchnię nierówną, a po niewielkim ugięciu nie wraca do położenia pierwotnego.

Pomiar twardości HRF chorągiewek podano tabeli 1. Pomiar twardości HRF wykonano w 5-ku punktach na długości wycinków.

Tabela 1. Twardości HRF chorągiewek: 1 – z rysunku 2 i 2 – z rysunku 3  
Table 1. HRF hardness of the risers: 1 – in Figure 2 and 2 – in Figure 3

Punkt pomiarowy	Chorągiewka (1)	Chorągiewka (2)
1	35,4	78,9
2	57,2	78,8
3	39,1	76,2
4	50,8	68,8
5	39,9	76,2
Wartość średnia	44,5	75,8

Twardość średnia chorągiewki (1) jest mniejsza o 59% od twardości chorągiewki (2). Przyczyna tkwi w ciągłych zmianach temperatury chorągiewek, gdyż prąd płynący w chorągiewce jest impulsowy o częstości od 12 do 13,3 Hz, jak to pokazano na rysunku 7. Miedź miękka ma także mniejszą wytrzymałość mechaniczną na zginanie.

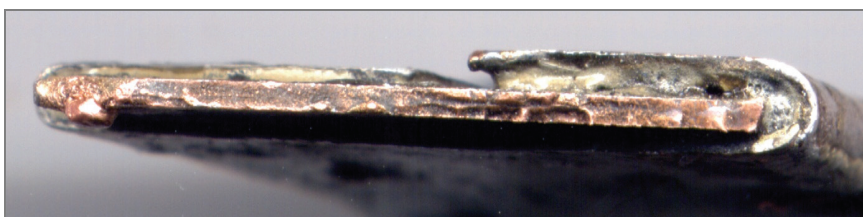
Obserwacja powierzchni przełomu fragmentu chorągiewki wykazuje, że wyłamanie jest typu zmęczeniowego. Potwierdzają to także zdjęcia – rys. 4 i rys. 5.

Zmieniła się także rezystywność materiału chorągiewek, choć w znacznie mniejszym stopniu. Aby to wykazać zmierzono rezystancję fragmentów chorągiewki wylamanej (1) i chorągiewki zapasowej z magazynu (2). Pomiary porównawcze rezystan-

cji wykonano na fragmentach o identycznej długości (158 mm). Pomiary wykonano metodą techniczną. Aby zmniejszyć do minimum błąd pomiarowy, fragmenty chorągiewek połączono w szereg i mierzono spadki napięcia przy tym samym prądzie. Rezystancja fragmentu chorągiewki, który wyłamał się wynosi  $106 \mu\Omega$ . Rezystancja fragmentu chorągiewki z magazynu wynosi  $100 \mu\Omega$ . Jak widać rezystancja fragmentu chorągiewki która pracowała jest o 6% większa.



Rys. 4. Widok powierzchni jednego końca złamanej chorągiewki (1)  
Fig. 4. View of the surface of one end of a broken riser (1)



Rys. 5. Widok powierzchni drugiego końca złamanej chorągiewki (1)  
Fig. 5. View of the surface of the other end of a broken riser (1)

#### 4. PRZYCZYNY WYSTĄPIENIA ZMĘCZENIA CHORĄGIEWEK

W czasie pracy silnika prąd płynie tylko w tych chorągiewkach, które są dołączone do działek komutatora znajdujących się aktualnie pod szczotkami – rys. 6. Prąd ten ma charakter trójkątny jak to pokazano na rys. 7. Czas przepływu prądu jest równy czasowi komutacji prądu w zwojach twornika. Dla prądu obciążenia silnika 8 kA i prędkości obrotowej 40 obr/min.

Czas komutacji wynosi:

$$T_K = T \frac{b_{sz}}{K} 2p = 0,075 \frac{2,5}{1050} 20 = 3,8 \times 10^{-3} s \quad (1)$$

$$T = \frac{60}{nx2p} = \frac{60}{40 \times 20} = 0,075 s \quad (2)$$

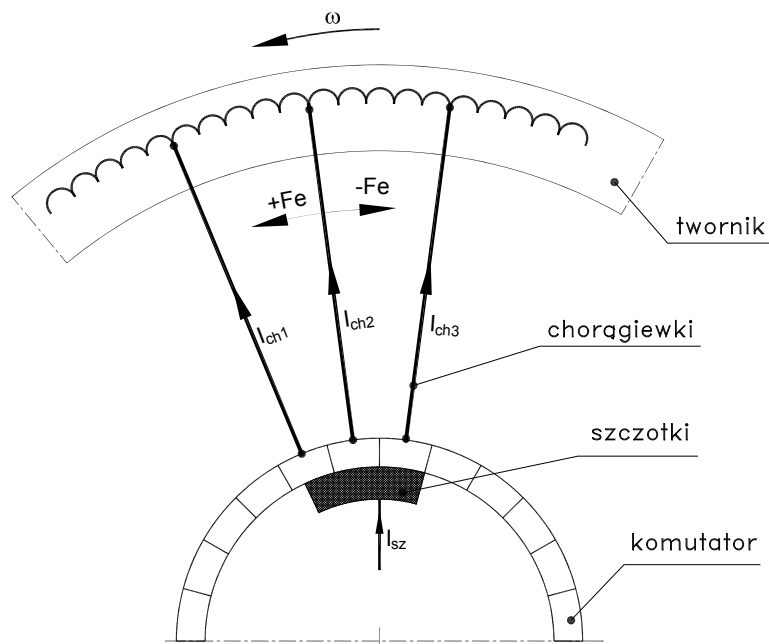
gdzie:

$T_k$  i  $T$  – oznaczają czas komutacji i pół okres zmiany prądu twornika tzn. czas obrotu wirnika o kąt łuku jednego bieguna,

$K = 1050$  – liczba działek komutatora,

$b_{sz} = 2,5$  – szerokość szczotek liczona w działkach komutatora,

$2p = 20$  – liczba biegunów.



Rys. 6. Szkic poglądowy połączenia komutatora z uzwojeniem twornika – chorągiewki  
Fig. 6. Sketch illustrating the connection of the commutator to the armature winding – the riser

Wartość maksymalna prądu chorągiewki wynosi:

$$I_m = \frac{I}{pxb_{sz}} = \frac{8000}{10 \times 2,5} = 320 \text{ A} \quad (3)$$

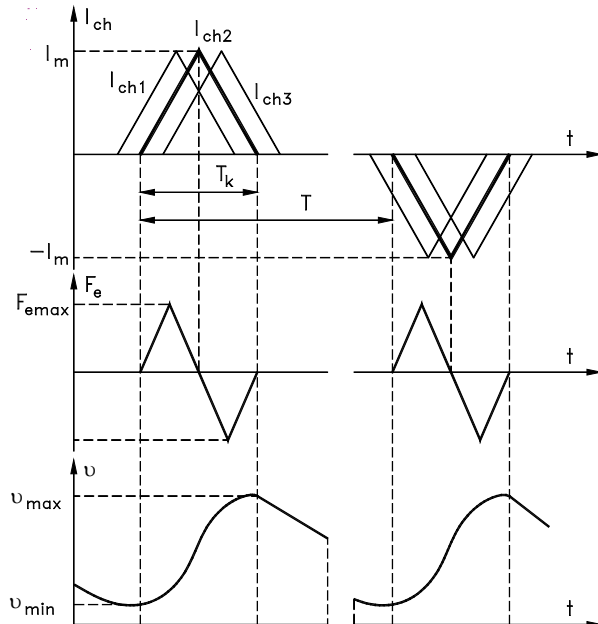
Maksymalna gęstość prądu w chorągiewce:

$$j_m = \frac{I_m}{S_{ch}} = \frac{320}{20} = 16 \text{ A/mm}^2 \quad (4)$$

$$S_{ch} = 1 \times 20 = 20 \text{ mm}^2$$

Prąd płynący w chorągiewkach generuje:

Siły elektrodynamiczne  $F_{e\max}$ , które są zmienne w czasie, jak pokazano na rys. 7. Siły te mają charakter impulsów zmiennych powtarzających się 20 razy na jeden obrót wirnika, czyli z częstotliwością 13,3 Hz, a wartość ich jest proporcjonalna do kwadratu prądu.



Rys. 7. Przebieg prądu w chorągiewkach  $I_{ch}$ , siły elektrodynamicznej  $F_e$  działające na chorągiewkę, i przebieg temperatury chorągiewki  $v$

Fig. 7. The flow of the current in risers  $I_{ch}$ , electrodynamic forces acting on the riser  $F_e$ , and the temperature curve of the riser  $v$

Cykliczna zmiana temperatury chorągiewek od  $v_{\max}$ , do  $v_{\min}$  i  $v_{\max}$  itd., która zachodzi także z częstotliwością 13,3 Hz, jak to pokazano na rys. 7.

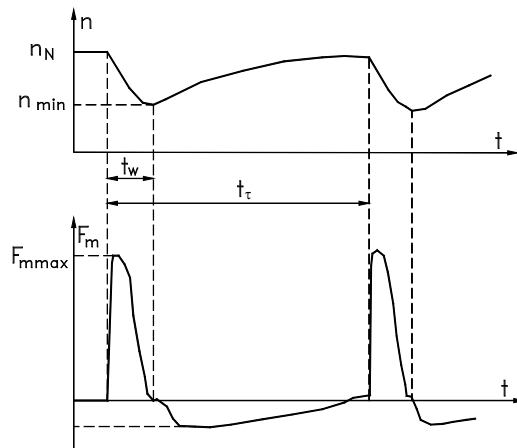
Położenie silnika zmienia się o wartość  $\Delta n = (n_N - n_{\min}) = 3$  do 5 obr/min., która zachodzi w czasie  $\Delta t = t_w = 0,35$  s. Maksymalna wartość przyspieszenia kątowego wynosi:

$$\frac{d\omega}{dt} = \frac{\pi \Delta n}{30 \Delta t} = \frac{\pi 5}{30 \times 0,35} = 1,5 \text{ [1/s}^2\text{]} \quad (5)$$

Przyspieszenie to zmienia się z częstotliwością cykli walcowania, a więc około 0,7 Hz i generuje zmienne siły bezwładności działające na chorągiewki, jak to pokazano na rys. 8.

Chorągiewki są wykonane z płaskownika miedzianego o grubości 1 mm, są elastyczne i mimo mocowania w połowie długości do podzwojnika, mają możliwość drgań. Drgania wzmacniane siłami elektrodynamicznymi występują tylko w tych cho-

ragiewkach w których płynie prąd (rys. 6). Siły bezwładności działają równocześnie na wszystkie działyki i wywołują drgania całego „kosza” chorągiewek.



Rys. 8. Przebieg prędkości obrotowej  $n$  i siły bezwładności  $F_m$  działającej na chorągiewkę  
Fig. 8. Rotation speed curve  $n$  and the inertial forces acting on the riser curve  $F_m$

## 5. WNIOSKI

Silnik walcowniczy od czasu remontu generalnego pracował poprawnie 28 lat. Aktualny stan techniczny silnika jest następujący:

- izolacja uzwojeń jest w stanie poprawnym, oceniona w skali od 1 do 5; na 3,5,
- komutator jest dobry, jego powierzchnia jest gładka i nie ma śladów opalenia,
- szczotki nie wykazują śladów iskrzenia, ich stan jest dobry,
- chorągiewki są zużyte, materiał chorągiewek jest w 100% zmęczony i wymagają wymiany.

Zaleca się możliwie szybką wymianę, sukcesywnie w przerwach technologicznych walcowania, wszystkich chorągiewek.

Zaleca się przeprowadzić badania stanu technicznego izolacji uzwojeń co 3 lata.

*Artykuł opracowano w ramach projektu badawczego Narodowego Centrum Nauki nr 6025/B/T02/2011/40.*

## LITERATURA

- [1] GIEMKE R.G., *Niedomagania maszyn elektrycznych*, WNT, 1962.
- [2] GOGOLEWSKI Z., GABRYŚ W., *Maszyny prądu stałego. Obliczenia, konstrukcje, zagadnienia specjalne*, PWT, 1960.
- [3] KORDECKI A., *Budowa maszyn elektrycznych. Projektowanie maszyn prądu stałego*, WNT, 1975.

### ATTACHING THE RISERS IN THE HIGH POWER DC ENGINES

DC motors operate as high power drive systems in mining hoists and drive systems in the steel mills. These are multipolar motors with relatively low rated speed. The large difference in diameters of the rotor and of the commutator results in risers' length of up to one meter (riser is commutator part connecting winding end to the commutator bar). The risers, when the engine is working, are subjected to electromagnetic forces and inertia forces. Operational experience shows that the risers are the most-likely-to-fault engine points and often experience failures. Forces acting on the risers are illustrated together with the effect of type of attachment of the risers on their durability. Example used is rolling-mill motor with a rotor diameter  $D = 4500$  mm, commutator diameter  $D_k = 2280$  mm and the number of commutator bars  $K = 1050$ .